

КОЛЕБАНИЯ И ВОЛНЫ
В ПЛАЗМЕ

УДК 533.951

О МГД-КОЛЕБАНИЯХ ПЛАЗМЕННОГО ШНУРА КОНЕЧНОЙ
ПРОВОДИМОСТИ ПРИ НАЛИЧИИ СКАЧКА ПАРАМЕТРОВ
В ПРИСТЕНОЧНОЙ ОБЛАСТИ

© 2019 г. В. В. Арсенин*

Национальный исследовательский центр “Курчатовский институт”, Москва, Россия

**e-mail: Arsenin_VV@nrcki.ru*

Поступила в редакцию 14.05.2019 г.

После доработки 20.06.2019 г.

Принята к публикации 25.06.2019 г.

В модели прямого цилиндра в сильном продольном магнитном поле рассматриваются МГД-колебания плазмы конечной проводимости в ситуации, когда в плазме отсутствует резонансная поверхность, на которой компонента волнового вектора возмущения вдоль поля обращается в нуль. При высокой проводимости имеются крупномасштабные, с радиальной длиной волны порядка радиуса шнура колебания, во всем объеме мало отличающиеся от тех, что описываются идеальной МГД. Показано, что при наличии скачка плотности и электронной температуры на некоторой магнитной поверхности около стенки, наряду с такими колебаниями, благодаря конечности проводимости возможно существование другой МГД-моды. В этой моде возмущения крупномасштабны и почти идеальны в большей части объема плазмы, но мелкомасштабны по радиальной координате и не идеальны в пристеночной области.

Ключевые слова: МГД, конечная проводимость, пристеночная плазма, крупномасштабная и мелкомасштабная составляющие колебаний

DOI: 10.1134/S0367292119120011

1. ВВЕДЕНИЕ

При высокой, но конечной проводимости плазмы вдоль магнитного поля радиальная собственная функция МГД-колебаний плазменного шнура включает две составляющие: крупномасштабную, которая при $\sigma_{\parallel} \rightarrow \infty$ переходит в движение, описываемое идеальной МГД, и мелкомасштабную, характерный радиальный масштаб которой определяется величиной проводимости. Мелкомасштабная часть возмущения может быть локализована: около резонансной магнитной поверхности $k_{\parallel} = \mathbf{k} \cdot \mathbf{V}/V = 0$, если таковая находится в плазме; около поверхностей резкого изменения параметров плазмы по радиусу; около стенки. Первый случай реализуется, в частности, в тиринг-неустойчивости. Вычисления мелкомасштабной составляющей в тиринг-неустойчивости при ограничении проводимости столкновениями проделаны в [1, 2], этой неустойчивости посвящена обширная литература. Подход [1, 2] применим и при другом механизме ограничения проводимости — из-за инерции электронов [3]. Локализация возле стенки имеет место при плавных радиальных профилях невозмущенных величин в отсутствие в плазме резонансной поверхно-

сти, причем в этом случае амплитуда мелкомасштабной составляющей мала по сравнению с крупномасштабной, и возмущение в целом мало отличается от идеальной МГД-моды [4]. В настоящей работе изучается роль конечности проводимости в колебаниях шнура в ситуации, когда резонанс $k_{\parallel} = 0$ в плазме отсутствует, но есть резкое изменение проводимости на некоторой поверхности $r = \text{const}$ вблизи стенки. В таком случае в МГД, помимо решения, всюду близкого к идеальной МГД-моды, при определенном виде дисперсии продольной проводимости может быть и другое крупномасштабное решение. Оно почти во всем объеме плазмы мало отличается от решения в идеальной МГД, однако содержит значительную мелкомасштабную неидеальную составляющую, локализованную в пристеночном слое.

2. УРАВНЕНИЯ КОЛЕБАНИЙ

Рассматриваем МГД-колебания длинного тонкого шнура плазмы конечной проводимости. Используем модель прямого цилиндра плазмы низкого давления, $\beta = 8\pi p/B^2 \ll 1$, в сильном аксиальном магнитном поле, $B_z \gg B_{\theta}$. В предполо-

жении, что тензор проводимости диагональный и $\sigma_{\parallel} \gg \sigma_{\perp}$ (значок \perp относится к направлениям поперек \mathbf{B}), длинноволновые по z возмущения $\propto \exp(im\vartheta - ik_z z - i\omega t)$ (при моделировании тонкого тороидального шнура $k_z = n/R$, R – большой радиус тора, n – тороидальное волновое число) электрического потенциала и вектор-потенциала магнитного поля описываются системой уравнений (см. [5, 6]) из z -компоненты уравнения Максвелла

$$\Delta_{\perp} \tilde{A}_z - \frac{4\pi}{c} i\sigma_{\parallel} \left(k_{\parallel} \tilde{\phi} - \frac{\omega}{c} \tilde{A}_z \right) = 0 \quad (1)$$

и уравнения квазинейтральности ($\nabla \cdot \tilde{\mathbf{j}} = 0$)

$$-\nabla_{\perp} \cdot (\sigma_{\perp} \nabla_{\perp} \tilde{\phi}) + \frac{im}{rB_z} \frac{dj_z}{dr} \tilde{A}_z + k_{\parallel} \sigma_{\parallel} \left(k_{\parallel} \tilde{\phi} - \frac{\omega}{c} \tilde{A}_z \right) = 0. \quad (2)$$

Здесь $k_{\parallel} = \mathbf{k} \cdot \mathbf{B}/B = B_{\vartheta}(m - nq)/rB_z$ – проекция волнового вектора на направление \mathbf{B} , $q(r)$ – запас устойчивости, j_z – невозмущенная плотность тока, c – скорость света, $\nabla_{\perp} = \nabla - \frac{\mathbf{B}}{B} \left(\frac{\mathbf{B}}{B} \cdot \nabla \right)$, $\Delta_{\perp} = \frac{d}{dr} r \frac{d}{dr} - \frac{m^2}{r^2}$. Принято во внимание, что с точностью $\sim (k_z a)^2$, где a – радиус шнура, z – компонента плотности тока возмущения равна \tilde{j}_{\parallel} , а лапласиан $\Delta \tilde{A}_z$ сводится к $\Delta_{\perp} \tilde{A}_z$. Сделаем еще несколько пояснений. Величины $\tilde{j}_{r,\vartheta}$ малы по сравнению с \tilde{j}_z , поэтому компонентами $\tilde{A}_{r,\vartheta}$ в возмущении вектор-потенциала и с ними возмущением z -компоненты магнитного поля, \tilde{B}_z , пренебрежено – происходит только изгибание силовых линий с появлением \tilde{B}_r , \tilde{B}_{ϑ} , без сгущения/разрежения. Влияние малой кривизны невозмущенного магнитного поля на колебания игнорируется.

Поперечная проводимость $\sigma_{\perp} = -(i\omega/4\pi)\omega_{pi}^2/\omega_{ci}^2$, где ω_{pi} и ω_{ci} – ионные плазменная и циклотронная частоты, связана с инерцией ионов (поляризонным током); частоты колебаний много меньше ω_{ci} , длины волн в направлении перпендикулярном \mathbf{B} много больше ионного ларморовского радиуса ρ_i , конечностью ρ_i пренебрегается, так что движение поперек \mathbf{B} гидродинамическое $\tilde{\mathbf{v}}_{\perp} = c\tilde{\mathbf{E}}_{\perp} \times \mathbf{B}/B^2$, дрейфовые эффекты не учитываются. Если рассматривается ситуация (как в разд. 4), когда имеется слой с резким радиальным изменением этих величин, в котором дрейфовые эффекты могли бы быть важны, мы, чтобы остаться в рамках принятой модели, можем ограничиться случаем $m = 0$. У σ_{\parallel} есть, вообще говоря, не только временная, но и связанная с тепловым

движением пространственная дисперсия, $\sigma_{\parallel} = \sigma_{\parallel}(r, \omega, k_{\parallel})$.

Исключением

$$\tilde{\phi} = \frac{\omega}{k_{\parallel} c} \tilde{A}_z + \frac{c}{4\pi i k_{\parallel} \sigma_{\parallel}} \Delta_{\perp} \tilde{A}_z \quad (3)$$

система (1), (2) приводится к одному уравнению четвертого порядка для \tilde{A}_z

$$\nabla_{\perp} \cdot \left[\varepsilon \nabla_{\perp} \left(\frac{\omega}{k_{\parallel} c} \tilde{A}_z + \frac{c}{k_{\parallel} \omega \eta} \Delta_{\perp} \tilde{A}_z \right) \right] + \frac{4\pi m}{\omega r B_z} \frac{dj_z}{dr} \tilde{A}_z = \frac{k_{\parallel} c}{\omega} \Delta_{\perp} \tilde{A}_z, \quad (4)$$

где введены компоненты диагонального тензора диэлектрической проницаемости $\varepsilon = 4\pi i \sigma_{\perp} / \omega$ и $\eta = 4\pi i \sigma_{\parallel} / \omega$. Считается

$$4\pi |\sigma_{\perp, \parallel} / \omega| \gg 1, \quad (5)$$

и вакуумное слагаемое в диэлектрическом тензоре в расчет не принимается. Неравенства (5) предполагаем выполненными вплоть до стенки, окружающей плазму. Саму стенку $r = a$ для простоты полагаем идеально проводящей.

Граничные условия на оси – ограниченность возмущения

$$\tilde{A}_z|_{r=0} < \infty, \quad (6)$$

$$\tilde{\phi}|_{r=0} < \infty. \quad (7)$$

На стенке

$$\tilde{A}_z|_{r=a} = 0, \quad (8)$$

$$\tilde{\phi}|_{r=a} = 0, \quad (9)$$

что обеспечивает обращение в нуль тангенциальной компоненты электрического поля, которая в стенке равна нулю и должна быть непрерывной (иначе $\tilde{\mathbf{B}} = (c/i\omega)\nabla \times \tilde{\mathbf{E}}$ не будет ограничено). Имея в виду соотношение (3) и выполнение (8), условие (9) можно записать как

$$(\Delta_{\perp} \tilde{A}_z)|_{r=a} = 0. \quad (9')$$

3. ДВА ТИПА РЕШЕНИЙ

При бесконечной продольной проводимости, $\eta = \infty$, уравнение (4) переходит в уравнение второго порядка

$$\nabla_{\perp} \cdot \left[\varepsilon \nabla_{\perp} \left(\frac{\omega}{k_{\parallel} c} \tilde{A}_z \right) \right] + \frac{4\pi m}{\omega r B_z} \frac{dj_z}{dr} \tilde{A}_z = \frac{k_{\parallel} c}{\omega} \Delta_{\perp} \tilde{A}_z. \quad (10)$$

Дополненное граничными условиями (6), (8), оно дает спектр возмущений в идеальной ($\tilde{\phi} = (\omega/k_{\parallel} c)\tilde{A}_z$) МГД, зависящий от профиля тока и положения стенки [7]. Если невозмущенные ве-

личины изменяются по r на длинах $\geq a$, где a – радиус шнура, то характерная частота (или при неустойчивости, инкремент) порядка альфвеновской. В рассматриваемом случае, когда в плазме отсутствует поверхность $k_{\parallel} = 0$, характерная длина волны по r порядка a .

При высокой, но конечной продольной проводимости, $(k_{\parallel}a)^{-2} \ll |\eta/\epsilon| < \infty$, уравнение (4) представляет собой уравнение с малым параметром при старших производных. Из четырех частных решений для двух – крупномасштабных по радиусу – слагаемое с η^{-1} в (4) мало. Эти решения близки к решениям уравнения (10).

Два другие частные решения мелкомасштабные, сильно изменяющиеся по радиусу на расстоянии $\lambda \ll a$; для этих решений главными в уравнении (4) являются члены с радиальными производными. Если на длине λ вариации невозмущенных величин, включая $d \ln k_{\parallel}/dr$, малы, то мелкомасштабные решения можно искать в квазиклассическом приближении $\tilde{A}_z \propto g \exp\left(\int k dr\right)$, где

$$\kappa = |k_{\parallel}| \left[\frac{\eta}{\epsilon} \left(1 - \frac{\omega^2}{\omega_A^2} \right)^{-1} \right]^{1/2}, \quad (11)$$

$\omega_A = |k_{\parallel}| c/\epsilon^{1/2}$ – альфвеновская частота, $|\kappa^{-1} d \ln g/dr| \ll 1$. Формула (11) получается, когда в (4) оставлены только упомянутые главные члены. Два различающихся решения соответствуют двум значениям квадратного корня. Величина λ имеет порядок $|\kappa^{-1}|$. Если $|\kappa| \rho_i \ll 1$, то и при наличии мелкомасштабной составляющей движение поперек \mathbf{V} описывается МГД. Однако присутствие значительной мелкомасштабной составляющей делает неприменимой идеальную МГД, поскольку в (3) становится существенно слагаемое с лапласианом, так что $\tilde{\phi} \neq (\omega/k_{\parallel}c)\tilde{A}_z$.

В радиальную собственную функцию, удовлетворяющую условиям (6)–(9), входят, вообще говоря, все четыре частных решения, причем их комбинация в разных областях по r (например, разделенных поверхностью с разрывом параметров) может быть разной. При плавных, без резких изменений на расстояниях $\leq \lambda$, профилях компонент диэлектрического тензора ϵ , η собственная функция, помимо крупномасштабной составляющей, содержит только одно, привязанное к стенке и спадающее от нее внутрь плазмы, мелкомасштабное решение. Его амплитуда мала по сравнению с характерным значением крупномасштабной составляющей в объеме плазмы (что следует из необходимости соблюдения усло-

вия (9')), так что в целом собственная функция близка к идеальной моде [4]. Наша задача – рассмотреть ситуацию, когда величины ϵ , η не плавные, а со скачкообразным поведением в слое толщиной $\leq \lambda$. Нет ли в этом случае собственных МГД-колебаний, сильно отличающихся от идеальной моды, в которых мелкомасштабная составляющая \tilde{A}_z сравнима по величине с крупномасштабной?

4. МОДЕЛЬ СО СКАЧКОМ ПРОВОДИМОСТЕЙ ОКОЛО СТЕНКИ

Пусть η и ϵ как функции радиальной координаты испытывают внутри плазмы, в окрестности $r = b$, скачки – перепады на расстоянии $\leq \lambda$. Считаем, что вне этой окрестности параметры плазмы, и с ними η , ϵ меняются плавно – на длинах $\geq a$. Поскольку $\epsilon = (\omega_{pi}/\omega_{ci})^2$, то разрыв ϵ , если он есть, обязан разрыву плотности плазмы. В поведении $\eta(r)$ может играть роль и радиальная зависимость температуры. Пусть $D = a - b \ll a$. Примем для простоты, что на радиальной периферии шнура, которой принадлежит поверхность $r = b$ и в которой локализована мелкомасштабная составляющая \tilde{A}_z , плотность невозмущенного тока j_z равна нулю.

Предполагаем, что для данных m и k_z величина k_{\parallel} в плазме не обращается в нуль и что для рассматриваемой частоты нет альфвеновского резонанса $\omega = \omega_A$.

При $r = b$ в возмущениях должны соблюдаться: – непрерывность \tilde{A}_z

$$\tilde{A}_z|_{r=b+0} = \tilde{A}_z|_{r=b-0}, \quad (12)$$

так как скачок $[\tilde{A}_z]$ величины \tilde{A}_z означал бы существование в тонком переходном слое δr большого поля $\tilde{B}_{\theta} \sim [\tilde{A}_z]/\delta r$, энергия которого $\propto [\tilde{A}_z]^2/\delta r$ при $\delta r \rightarrow 0$ стремится к бесконечности;

– следующая из непрерывности тангенциальной составляющей $\tilde{\mathbf{E}}$ непрерывность $\tilde{\phi}$

$$\tilde{\phi}|_{r=b+0} = \tilde{\phi}|_{r=b-0}, \quad (13)$$

что можно записать в другой форме (напоминаем (3))

$$(\eta^{-1} \Delta_{\perp} \tilde{A}_z)_{r=b+0} = (\eta^{-1} \Delta_{\perp} \tilde{A}_z)_{r=b-0}; \quad (13')$$

– непрерывность $\partial \tilde{A}_z/\partial r$ (означающая непрерывность \tilde{B}_{θ})

$$\frac{\partial \tilde{A}_z}{\partial r} \Big|_{r=b+0} = \frac{\partial \tilde{A}_z}{\partial r} \Big|_{r=b-0}, \quad (14)$$

вытекающая из (1) благодаря ограниченности правой части;

– непрерывность радиальной компоненты электрической индукции

$$\left[\varepsilon \frac{\partial}{\partial r} \left(\frac{\omega}{k_{\parallel} c} \tilde{A}_z + \frac{c}{\omega k_{\parallel} \eta} \Delta_{\perp} \tilde{A}_z \right) \right]_{b-0}^{b+0} = 0 \quad (15)$$

получается интегрированием (4).

4.1. Решения в пристеночной области

Величины, относящиеся к крупномасштабной составляющей возмущения, помечаем индексом L , к мелкомасштабной – индексом S . Чтобы не загромождать запись, индекс z у \tilde{A}_z в дальнейшем опускаем.

Будем интересоваться возмущениями, в которых мелкомасштабная составляющая локализована около стенки и поверхности $r = b$. Длина ее экспоненциального спада от этих поверхностей привязки составляет $\Lambda = |\operatorname{Re} \kappa|^{-1}$. Пусть на каждом из двух участков по r : в примыкающем к поверхности $r = b$ промежутке толщиной $\sim \Lambda$ при $r < b$ и в слое $b < r < a$ – относительные изменения невозмущенных величин и k_{\parallel} малы (в частности, ввиду тонкости пристеночного слоя, $D \ll a$, можно считать величины η и ε в нем равными соответственно $\eta|_{r=a}$ и $\varepsilon|_{r=a}$, каковые значения, напомним, полагаются отличными от нуля). В пренебрежении этими изменениями мелкомасштабная составляющая \tilde{A} выглядит так:

при $r < b$

$$\tilde{A}_S = \tilde{A}_S^{(-)} \exp[\kappa^{(-)}(r - b)], \quad (16)$$

где $\tilde{A}_S^{(-)}$ – постоянная, $\kappa^{(-)} = |k_{\parallel}| \times [\eta^{(-)}/\varepsilon^{(-)}(1 - \omega^2/\omega_A^{(-)2})^{1/2}]$, $\eta^{(-)} = \eta|_{r=b-0}$, $\varepsilon^{(-)} = \varepsilon|_{r=b-0}$, причем берется значение квадратного корня (11) с $\operatorname{Re} \kappa^{(-)} > 0$, с тем чтобы с удалением от $r = b$ в сумме $\tilde{A} = \tilde{A}_L + \tilde{A}_S$ осталось (при $a \operatorname{Re} \kappa^{(-)} \gg 1$) только \tilde{A}_L и тем самым при $\tilde{A}_L|_{axis} < \infty$ обеспечивалось выполнение граничных условий на оси;

при $b < r < a$

$$\tilde{A}_S = \tilde{A}_S^{(+)} \frac{\operatorname{sh}(\kappa^{(+)}(a - r))}{\operatorname{sh}(\kappa^{(+)}(a - b))}, \quad (17)$$

где $\tilde{A}_S^{(+)}$ – постоянная, $\kappa^{(+)} = |k_{\parallel}| \times [\eta^{(+)}/\varepsilon^{(+)}(1 - \omega^2/\omega_A^{(+2)})^{1/2}]$, $\eta^{(+)} = \eta|_{r=b+0}$, $\varepsilon^{(+)} = \varepsilon|_{r=b+0}$, и взята такая линейная комбинация решений $\exp(\pm \kappa^{(+)} r)$, чтобы выполнялось условие $\tilde{A}_S|_{r=a} = 0$.

Что касается крупномасштабных частей, \tilde{A}_L , то в области $r < b$ берется крупномасштабное решение (4), ограниченное на оси, а в промежутке $b < r < a$ – решение, принимающее нулевое значение при $r = a$. Вообще говоря, эти функции – их вид мы уточним ниже – не составляют единого по всему радиусу крупномасштабного, без присутствия \tilde{A}_S , решения, удовлетворяющего условиям (6), (8) одновременно. Как упомянуто в разд. 3, при $\gamma \equiv (k_{\parallel} a)^2 |\eta/\varepsilon| \gg 1$ и плавных профилях η , ε уравнение (4) имеет решения, в которых величина \tilde{A}_S мала по сравнению с характерным (например, среднеквадратичным) значением $\tilde{A}_L(r)$ в сечении плазмы. Они мало отличаются от собственных функций \tilde{A}_{ideal} задачи (10), (6), (8). По крайней мере в случае, когда на описываемой радиальной периферии плотность плазмы значительно меньше, чем в основном объеме, так что локальная альфвеновская частота на периферии сильно превышает собственную частоту,

$$\omega_A|_{\text{periph}} \gg |\omega|, \quad (18)$$

колебания, близкие к идеальной МГД-моду, имеются и при наличии скачка. В самом деле, при $\gamma \gg 1$, пренебрежении членом с η^{-1} и соблюдении (18) уравнение (4) на бестоковой периферии имеет одинаковый вид ($\Delta_{\perp} \tilde{A} = 0$) независимо от радиального хода параметров. В этом приближении, если профили невозмущенных величин различаются только на разреженной периферии, то для них собственная функция возмущения почти одинакова и $\approx \tilde{A}_{ideal}$. Мы сейчас ищем решение, отличающееся от такого почти идеального: не предполагаем малости \tilde{A}_S по сравнению с характерной величиной \tilde{A}_L в плотной области, $\tilde{A}_L^{(0)}$, и малости \tilde{A}_L при $r \geq b$ по сравнению с $\tilde{A}_L^{(0)}$. По одну сторону от разрыва параметров крупномасштабная составляющая

$$\tilde{A}_L = \tilde{A}_L^{(-)} F\left(\frac{r}{a}\right), \quad r < b, \quad (19)$$

где $\tilde{A}_L^{(-)}$ – постоянная, а F – плавная функция, равная единице при $r = b$ и ограниченная на оси. Она близка к решению уравнения второго порядка (10) с теми же граничными условиями. (Конкретный вид этого решения задачи идеальной МГД для нас несуществен. Важно лишь, что оно мало изменяется на длине Λ . В дальнейшем будет фигурировать только амплитуда $\tilde{A}_L^{(-)}$ – значение \tilde{A}_L при $r = b - 0$.) По другую сторону разрыва, в

тонком, $D \ll a$, слое $b < r < a$ функцию \tilde{A}_L с нулем на стенке можно представить разложением

$$\tilde{A}_L = \tilde{A}_L^{(+)} \frac{a-r}{D} \left(1 + O\left(\frac{a-r}{a}\right) \right), \quad r > b, \quad (20)$$

$\tilde{A}_L^{(+)}$ – постоянная.

Будем полагать амплитуды $\tilde{A}_L^{(-)}$, $\tilde{A}_L^{(+)}$, $\tilde{A}_S^{(-)}$, $\tilde{A}_S^{(+)}$ одного порядка по параметру λ/a . При этом, поскольку в области локализации \tilde{A}_S главный вклад в $\Delta_{\perp} \tilde{A}$ вносит слагаемое $\partial^2 \tilde{A}_S / \partial r^2$, а согласно (17) величина $(\partial^2 \tilde{A}_S / \partial r^2)_{r=a} = 0$, то на стенке выполняются не только условие (8), но в главном порядке и требование (9'). Условия (6), (7) тоже удовлетворяются, так как величина мелкомасштабной составляющей колебаний \tilde{A}_S (16) становится пренебрежимо малой вблизи оси плазменного цилиндра.

4.2. Сшивка решений при $r = b$

Запишем условия сшивки, используя малость λ по сравнению с длинами изменения крупномасштабной составляющей \tilde{A} и невозмущенных величин вне переходного слоя.

Около поверхности $r = b$, в областях $0 < |(r - b)\kappa| \lesssim 1$, лапласиан $\Delta_{\perp} \tilde{A}_L$, фигурирующий в (13), (15), много меньше $\Delta_{\perp} \tilde{A}_S$, а в равенстве (14) можно опустить, как малое $\sim D/a$, слагаемое $\partial \tilde{A}_L / \partial r|_{r=b-0}$. Пусть выполняется неравенство (18), тогда в (15) существенны только члены с $\Delta_{\perp} \tilde{A}_S$. В результате соотношения (12)–(15) сводятся к

$$\tilde{A}_L^{(-)} + \tilde{A}_S^{(-)} = \tilde{A}_L^{(+)} + \tilde{A}_S^{(+)}, \quad (21)$$

$$\frac{\kappa^{(-)2}}{\eta^{(-)}} \tilde{A}_S^{(-)} = \frac{\kappa^{(+2)}}{\eta^{(+)}} \tilde{A}_S^{(+)}, \quad (22)$$

$$\kappa^{(-)} \tilde{A}_S^{(-)} = -D^{-1} \tilde{A}_L^{(+)} - [\kappa^{(+)} \operatorname{cth}(\kappa^{(+)} D)] \tilde{A}_S^{(+)}, \quad (23)$$

$$\frac{\varepsilon^{(-)}}{\eta^{(-)}} \kappa^{(-)2} \kappa^{(-)} \tilde{A}_S^{(-)} = -\frac{\varepsilon^{(+)}}{\eta^{(+)}} \kappa^{(+2)} [\kappa^{(+)} \operatorname{cth}(\kappa^{(+)} D)] \tilde{A}_S^{(+)}, \quad (24)$$

причем в $\kappa^{(-)}$ и $\kappa^{(+)}$ нужно множитель $(1 - \omega^2 / \omega_A^2)^{-1}$ положить, раз предполагается (18), равным единице.

Равенства (22), (24) совместимы, если

$$\varepsilon^{(-)} \kappa^{(-)} = -\varepsilon^{(+)} \kappa^{(+)} \operatorname{cth}(\kappa^{(+)} D). \quad (25)$$

Входящие в $\kappa^{(-)}$, $\kappa^{(+)}$ величины $\eta^{(-)}$, $\eta^{(+)}$ зависят от частоты, и в случае разрешимости относительно ω (это возможно не при всяких $\eta^{(-)}$, $\eta^{(+)}$; решения нет, в частности, если $\eta^{(-)}$, $\eta^{(+)}$ вещественны и положительны) уравнение (25) дает собственную

частоту, примеры будут приведены ниже. При этом отношении амплитуд $\tilde{A}_S^{(+)}$ и $\tilde{A}_S^{(-)}$ есть

$$\frac{\tilde{A}_S^{(+)}}{\tilde{A}_S^{(-)}} = \frac{\varepsilon^{(+)}}{\varepsilon^{(-)}}, \quad (26)$$

а из (21)–(23) получаем связь $\tilde{A}_S^{(-)}$, $\tilde{A}_S^{(+)}$ и $\tilde{A}_L^{(+)}$ с $\tilde{A}_L^{(-)}$:

$$\tilde{A}_S^{(-)} = \frac{\varepsilon^{(-)}}{\varepsilon^{(+)} - \varepsilon^{(-)}} \tilde{A}_L^{(-)}, \quad (27)$$

$$\tilde{A}_S^{(+)} = \frac{\varepsilon^{(+)}}{\varepsilon^{(+)} - \varepsilon^{(-)}} \tilde{A}_L^{(-)}, \quad (28)$$

$$\tilde{A}_L^{(+)} = 0. \quad (29)$$

Подчеркнем, что хотя практически во всем объеме плазмы, $r < b - \xi \Lambda$, где ξ – несколько единиц, движение крупномасштабное ($\tilde{A} \approx \tilde{A}_L$) и почти идеальное, частота, находящаяся из (25), отлична от собственной частоты ω_{ideal} идеальной моды (10), (6), (8), так что радиальный ход \tilde{A} существенно отличается от \tilde{A}_{ideal} . При приближении к стенке не происходит, как у функции \tilde{A}_{ideal} , падения \tilde{A} до малых значений еще при $r < b - \xi \Lambda$. (Заметим в связи с этим, что для моды, близкой к \tilde{A}_{ideal} , мы не могли бы перейти от (14) к (23), так как порядок слагаемого $(\partial \tilde{A}_L / \partial r)_{r=b-0}$ в (14) был бы $\tilde{A}_L|_{r=b-0} / D$.)

4.3. Примеры разрешимости (25)

Разрешимость уравнения (25) и тем самым существование решения, в котором амплитуды $\tilde{A}_L^{(+)}$, $\tilde{A}_S^{(-)}$, $\tilde{A}_S^{(+)}$ того же порядка по λ/a , что $\tilde{A}_L^{(-)}$, зависит от вида функций $\eta^{(-)}(\omega)$ и $\eta^{(+)}(\omega)$. Ниже даны два примера, когда разрешимость имеет место¹.

4.3.1. Пусть температура электронов в пристеночном промежутке $b < r < a$ много меньше, чем при $r < b$. Рассмотрим область частот

$$|k_{\parallel} v_{Te}^{(-)}| \gg |\omega| \gg |k_{\parallel} v_{Te}^{(-)} (m_e / m_i)^{1/2}|, \quad |k_{\parallel} v_{Te}^{(+)}|, \quad (30)$$

v_{Te} – тепловая скорость. В бесстолкновительном приближении продольная компонента диэлек-

¹ Реализация рассматриваемых типов дисперсии $\eta^{(-)}(\omega)$ и $\eta^{(+)}(\omega)$ в конкретных установках здесь не обсуждается.

трического тензора в окрестности поверхности $r = b$ при $|\operatorname{Im} \omega / \operatorname{Re} \omega| \ll 1$ выглядит как

$$\eta^{(-)} = \eta'^{(-)} + i\eta''^{(-)}, \quad \eta'^{(-)} = \frac{2\omega_{pe}^{(-)2}}{k_{\parallel}^2 v_{Te}^{(-)2}}, \quad (31a)$$

$$\left| \frac{\eta''^{(-)}}{\eta'^{(-)}} \right| \ll 1, \quad \omega\eta''^{(-)} > 0, \quad r = b - 0,$$

$$\eta^{(+)} = \eta'^{(+)} + i\eta''^{(+)}, \quad \eta'^{(+)} = -\frac{\omega_{pe}^{(+2)}}{\omega^2}, \quad (31b)$$

$$\left| \frac{\eta''^{(+)}}{\eta'^{(+)}} \right| \ll 1, \quad \omega\eta''^{(+)} > 0, \quad r = b + 0,$$

см., например, [8]. В пренебрежении малой антиэрмитовой частью η имеем

$$\kappa^{(-)} = K^{(-)}, \quad K^{(-)} = \frac{1}{\rho_i^{(-)}} \sqrt{\frac{T_i^{(-)}}{T_e^{(-)}}}, \quad (32)$$

$$\kappa^{(+)} = iK^{(+)}, \quad K^{(+)} = \sqrt{\frac{m_i}{m_e}} |k_{\parallel}| \frac{\omega_{ci}}{|\omega|}, \quad (33)$$

и уравнение (25) принимает вид

$$\varepsilon^{(-)} K^{(-)} = -\varepsilon^{(+)} K^{(+)} \operatorname{ctg}(K^{(+)} D). \quad (34)$$

При этом условие гидродинамичности $|\kappa^{(-)}| \rho_i^{(-)} \ll 1$ требует, чтобы было $T_i^{(-)} \ll T_e^{(-)}$. Для малости $|\kappa^{(+)}| \rho_i^{(+)}$ достаточно (поскольку $|\omega/k_{\parallel} v_{Te}^{(+)}| \gg 1$), чтобы $T_i^{(+)} \gtrsim T_e^{(+)}$. Отметим также, что для $\kappa^{(-)}$ (32) величина Λ того же порядка, что λ .

Из (34) получаем связь частоты с толщиной пристеночного слоя D

$$\omega^2 = \frac{m_i}{m_e} \left(\omega_{ci} \frac{k_{\parallel} D}{\alpha} \right)^2, \quad (35)$$

где α – один из корней уравнения

$$\alpha \operatorname{ctg} \alpha = -\frac{\varepsilon^{(-)}}{\varepsilon^{(+)}} K^{(-)} D. \quad (36)$$

В функции $\omega(D)$ допустимые D – такие, чтобы значение ω принадлежало интервалу $|\omega| < \min \omega_A$, так что альфвеновский резонанс невозможен².

Поясним роль связи (34). В области $0 < r < b - \xi\lambda$ функция \tilde{A} , сводящаяся там к \tilde{A}_L , подчиняется фактически (ввиду того, что в круп-

номасштабных колебаниях член с η^{-1} в (4) мал) уравнению второго порядка (10), при соблюдении (6) ход $\tilde{A}(r)$ в этой области предопределен частотой ω . Если последняя не близка к собственной частоте ω_{ideal} в задаче (10), (6), (8), то продолжение этого решения в область $r > b - \xi\lambda$ не будет удовлетворять условию (8) на стенке. При выполнении (34) функция $\tilde{A}_L|_{r < b - \xi\lambda}$ может быть сшита с решением $\tilde{A}|_{r > b - \xi\lambda}$ полного уравнения четвертого порядка (4), удовлетворяющим требованиям (8), (9'). Эти требования выполняются благодаря тому, что в периферийной области в колебаниях участвует неидеальная мелко-масштабная составляющая. Отметим, что для небольших $\alpha \sim \pi$ расстояние D , при котором существует наше решение, порядка длины λ . Если интересоваться колебаниями выявленного типа с частотой, равной некоторой доле ζ от альфвеновской частоты, рассчитанной по плотности n_0 в центральной области плазменного цилиндра, то они возможны при $D \sim \zeta(r_0 n_0)^{-1/2}$, где $r_0 = e^2/m_e c^2$ – классический радиус электрона.

Радиальная зависимость возмущения около стенки показана на рис. 1.

При учете $\eta''^{(+)}$, $\eta''^{(-)}$, из-за которых появляются $\operatorname{Im} \kappa^{(-)}$ и $\operatorname{Re} \kappa^{(+)}$, собственная частота приобретает мнимую добавку, соответствующую затуханию. Из (25) несложно найти декремент

$$\Gamma = \frac{\varepsilon^{(+)} \left[(1 + \operatorname{tg}^2 \alpha) K^{(-)} D + \frac{\varepsilon^{(+)}}{\varepsilon^{(-)}} \right]^{-1} \frac{\omega\eta''^{(-)}}{2\eta'^{(-)}} + \frac{\omega\eta''^{(+)}}{2\eta'^{(+)}}}{\varepsilon^{(-)}} \quad (37)$$

4.3.2. Другой пример разрешимости (25). Пусть, как и в предыдущем пункте, температура $T_e^{(-)}$ существенно больше $T_e^{(+)}$, но рассматривается область частот $|\omega/k_{\parallel} v_{Te}| \gg 1$. При этом по обе стороны от поверхности $r = b$ имеем $\eta \approx \eta' = -\omega_{pe}^2/\omega^2$. Вклад же в η черенковского взаимодействия волны с частицами $\eta'' \propto \exp(-(\omega/k_{\parallel} v_{Te})^2)$, и, поскольку $v_{Te}^{(-)} > v_{Te}^{(+)}$, то $|\eta''^{(-)}/\eta'^{(-)}| \gg |\eta''^{(+)}/\eta'^{(+)}|$. Имея в виду последнее неравенство, слагаемым $\eta''^{(+)}$ в $\eta^{(+)}$ пренебрежем, а $\eta''^{(-)}$ в $\eta^{(-)}$ оставим. Будем предполагать, что $|\operatorname{Im} \omega / \operatorname{Re} \omega| \ll 1$ и

$$\eta''^{(-)} \operatorname{Re} \omega \gg 2[\omega_{pe}^{2(-)}/(\operatorname{Re} \omega)^2] |\operatorname{Im} \omega|, \quad (38)$$

так что и при $\operatorname{Im} \omega \neq 0$ мнимая часть $\eta^{(-)}$ определяется именно величиной $\eta''^{(-)}$. Тогда при $r < b$ требование спада мелко-масштабной составляющей

² Есть также ограничение на D сверху из-за того, что вследствие комплексности $\eta^{(+)}$ величина $\operatorname{Re} \kappa^{(+)} \neq 0$. Перейти от (25) к (34) можно, если $D |\operatorname{Re} \kappa^{(+)}| \ll 1$. В связи с этим ограничены допускаемые корни (36): $|\alpha| \ll |K^{(+)} / \operatorname{Re} \kappa^{(+)}|$.

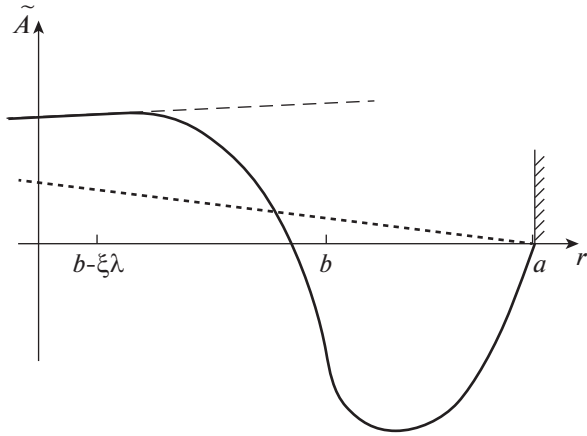


Рис. 1. Радиальная зависимость вектор-потенциала возмущения в пристеночной области при $\eta^{(-)}$ (31а) и $\eta^{(+)}$ (31б) в случае $\epsilon^{(+)} < \epsilon^{(-)}$. Сплошная линия $-\tilde{A}$ при $\omega \neq \omega_{ideal}$. В области $r < b - \xi\lambda$ изменение \tilde{A} на длине λ слабое, $\lambda |d \ln \tilde{A}/dr| \ll 1$. Штриховая линия – продолжение $\tilde{A}_L^{(-)}$ в область $r > b - \xi\lambda$. Пунктир – ход крупномасштабной моды, близкой к идеальной ($\omega \approx \omega_{ideal}$).

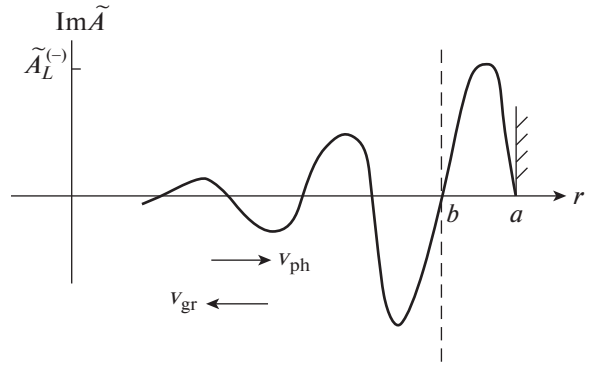


Рис. 2. $\text{Im } \tilde{A}$ как функция радиальной координаты при вещественном $\tilde{A}_L^{(-)} > 0$ в случае $\eta^{(-,+)} = -\omega_{pe}^{(-,+2)}/\omega^2$.

шей вглубь шнура, $\text{Re } \kappa^{(-)} > 0$, оставляет из двух значений $\kappa = |k_{\parallel}|(\eta/\epsilon)^{1/2}$ одно:

$$\kappa^{(-)} \approx i\bar{K} \left(1 - \frac{i\eta^{(-)}}{2|\eta^{(-)}|} \right) \text{sign Re } \omega, \quad (39)$$

где $\bar{K} = |k_{\parallel}| \sqrt{|\eta^{(-)}|/\epsilon^{(-)}}$, $\eta^{(-)} = -\omega_{pe}^{(-2)}/(\text{Re } \omega)^2$ и второе слагаемое в скобках по абсолютной величине $\ll 1$. В пренебрежении этим слагаемым соотношение (25) сведется к

$$i\epsilon^{(-)}\bar{K} \text{sign Re } \omega = -\epsilon^{(+)}\kappa^{(+)} \text{cth}(\kappa^{(+)}D), \quad (40)$$

здесь

$$\kappa^{(+)} = \left(-\frac{k_{\parallel}^2 \omega_{pe}^{(+2)}}{\epsilon^{(+)} \omega^2} \right)^{1/2} \approx i \sqrt{\frac{k_{\parallel}^2 \omega_{pe}^{(+2)}}{\epsilon^{(+)} (\text{Re } \omega)^2}} \left(1 - \frac{i \text{Im } \omega}{\text{Re } \omega} \right). \quad (41)$$

Пусть $\epsilon^{(+)} \ll \epsilon^{(-)}$. Интересуемся решением (40) с $|\kappa^{(+)}|D \geq 1$. Учитывая, что $\bar{K}/|\kappa^{(+)}| \approx 1$ (входящее в κ отношение η'/ϵ не зависит от плотности), в первом приближении по $\epsilon^{(+)}/\epsilon^{(-)}$ имеем

$$\begin{aligned} \sqrt{\frac{m_i}{m_e} \frac{\omega_{ci}}{\text{Re } \omega}} |k_{\parallel}| D \left(1 - i \frac{\text{Im } \omega}{\text{Re } \omega} \right) = \\ = \pi + i \frac{\epsilon^{(+)}}{\epsilon^{(-)}} \text{sign Re } \omega \end{aligned} \quad (42)$$

взят наименьший отличный от нуля корень $\alpha = \pi$ уравнения $\text{tg } \alpha = 0$ (для простоты и в согласии с примечанием 2 мы ограничились самым длинноволновым по r решением в области $b < r < a$). Отсюда

$$(\text{Re } \omega)^2 = \frac{m_i}{m_e} \left(\omega_{ci} \frac{k_{\parallel} D}{\pi} \right)^2, \quad (43)$$

$$\text{Im } \omega = -\frac{\epsilon^{(+)}}{\pi \epsilon^{(-)}} |\text{Re } \omega|. \quad (44)$$

При малых $\epsilon^{(+)}/\epsilon^{(-)}$ исходное предположение $|\text{Im } \omega / \text{Re } \omega| \ll 1$ и условие (38) выполняются.

Обратим внимание на то, что в мнимую добавку (44) величины $\eta^{(-,+)}$ не входят. Наличие у η антиэрмитовой компоненты проявилось, однако, в отборе (39), в результате которого мелкомасштабная составляющая \tilde{A} в области $b - \xi\lambda < r < b$ представляет собой в первом приближении по η''/η' волну, бегущую по r : мнимая часть величины $\kappa^{(-)}$ (39) отлична от нуля (она даже много больше действительной части). Радиальная фазовая скорость волны направлена к поверхности $r = b$, а групповая скорость и вместе с нею поток энергии – от этой поверхности. Именно бегущий характер мелкомасштабной составляющей при $r < b$, в конечном счете обязанный резистивности, обуславливает затухание колебаний (43), имеющих положительную энергию. Радиальная структура возмущения иллюстрируется рис. 2, на котором для случая вещественного и положительного $\tilde{A}_L^{(-)}$ показано поведение $\text{Im } \tilde{A}(r)$. Что касается $\text{Re } \tilde{A}$, то при $r < b - \xi\lambda$ она близка к $\tilde{A}_L^{(-)}$ (которая в свою очередь близка к $\tilde{A}_{L \text{ ideal}}^{(-)}$), в промежутке $b - \xi\lambda < r < b$ по мере приближения к $r = b$

уменьшается, испытывая осцилляции по r , а при $b < r < a$ мала, как $(\epsilon^{(+)} / \epsilon^{(-)}) A_L^{(-)}$.

4.4. Дополнительные замечания

1. В предположении (18) соотношение $\nabla \cdot \tilde{\mathbf{j}} = 0$ (4) для мелкомасштабной составляющей в области $b - \xi\Lambda < r < a$ есть уравнение почти потенциальных ($\tilde{\mathbf{E}} \approx -\nabla\tilde{\phi}$) колебаний

$$\begin{aligned} 0 &= \nabla_{\perp} \cdot \left[\epsilon \nabla_{\perp} \left(\frac{c}{k_{\parallel} \omega \eta} \Delta_{\perp} \tilde{A} \right) \right] - \frac{k_{\parallel} c}{\omega} \Delta_{\perp} \tilde{A} \approx \\ &\approx \frac{\partial}{\partial r} \left[\epsilon \frac{\partial}{\partial r} \left(\frac{c}{k_{\parallel} \omega \eta} \left(\frac{\partial^2 \tilde{A}}{\partial r^2} \right) \right) \right] - \frac{k_{\parallel} c}{\omega} \frac{\partial^2 \tilde{A}}{\partial r^2} = \\ &= \frac{c}{k_{\parallel} \omega \eta} \left\{ \frac{\partial}{\partial r} \left[\epsilon \frac{\partial}{\partial r} \left(\left(\frac{\partial^2 \tilde{A}}{\partial r^2} \right) \right) \right] - \eta k_{\parallel}^2 \frac{\partial^2 \tilde{A}}{\partial r^2} \right\} = \\ &= \frac{\partial}{\partial r} \left(\epsilon \frac{\partial \tilde{\phi}}{\partial r} \right) - \eta k_{\parallel}^2 \tilde{\phi}, \end{aligned} \quad (45)$$

где выражение для возмущения потенциала, $\tilde{\phi} = (c/k_{\parallel} \omega \eta) \partial^2 \tilde{A} / \partial r^2$, согласуется с (3), так как $\Delta_{\perp} \tilde{A} \approx \partial^2 \tilde{A} / \partial r^2 = \kappa^2 \tilde{A}$ и первое слагаемое в правой части (3) мало. При этом, однако, присутствие почти идеальной крупномасштабной составляющей $\tilde{A}_L^{(-)}$ в колебаниях обязательно: без нее невозможна непрерывность \tilde{A} при $r = b$.

2. Для рассмотренной мелкомасштабной составляющей, поперечные волновые числа в которой имеют порядок $|k| \sim |k_{\parallel} (\sigma_{\parallel} / \sigma_{\perp})^{1/2}|$, заложенное в относительно простую модель колебаний (1), (2) представление о важности лишь диагональных компонент диэлектрического тензора (так что z -компонента плотности тока возмущения $\tilde{j}_z \approx \sigma_{\parallel} \tilde{E}_{\parallel}$, а вклады $\sigma_{zr} \tilde{E}_r$, $\sigma_{z\theta} \tilde{E}_{\theta}$ в нее, связанные с недиагональными компонентами тензора проводимости, малы), является оправданным, поскольку выполняется неравенство $|\sigma_{zr}|^2 \ll |\sigma_{\perp} \sigma_{\parallel}|$.

3. В описанной моде энергия магнитного поля возмущения, сосредоточенная около стенки, оказывается, благодаря большому вкладу компоненты \tilde{B}_{θ} , пропорциональному $(\partial \tilde{A} / \partial r)^2$, много больше, чем во всем остальном объеме плазмы. В отличие от идеальной МГД-моды, где при $|\omega / k_{\parallel} c| \ll 1$ плотность магнитной энергии $\tilde{B}^2 / 8\pi$ много больше $\tilde{E}^2 / 8\pi$, в решении с неидеальной мелкомасштабной составляющей, локализован-

ной на радиальной периферии, в этой области величина $\tilde{E}^2 / 8\pi$ может быть больше $\tilde{B}^2 / 8\pi$.

4. В разобранных примерах конечность продольной проводимости (ограниченность η), которая обеспечивает существование мелкомасштабной составляющей у возмущения, не связана с резистивностью плазмы: диэлектрической проницаемости (31a) отвечает емкостный характер импеданса, а (31б) – индуктивный.

5. ЗАКЛЮЧЕНИЕ

Итак, в плазме высокой, но конечной проводимости, кроме колебаний, мало отличающихся во всем объеме шнура от идеальной МГД-моды $\omega = \omega(m, k_z)$, возможно (по крайней мере при $m = 0$, когда дрейфовые эффекты не важны) – при наличии скачка плотности и электронной температуры в окрестности некоторой магнитной поверхности, находящейся на малом, порядка длины изменения мелкомасштабной составляющей возмущения, расстоянии D от стенки, – существование другой МГД-моды, почти идеальной в большей части объема и неидеальной (почти потенциальной) в пристеночной области. Ее частота связана с этим расстоянием: $\omega = \omega(k_z, D)$.

Автор благодарен А.М. Какурину, А.С. Кукушкину и А.В. Тимофееву за обсуждения.

СПИСОК ЛИТЕРАТУРЫ

1. *Furth H.P., Killeen J., Rosenbluth M.N.* // Phys. Fluids. 1963. V. 6. P. 459.
2. *Johnson J.L., Green J.M., Coppi B.* // Phys. Fluids. 1963. V. 6. P. 1169.
3. *Погутце О.П., Юрченко Э.И.* // Физика плазмы. 1977. Т. 3. С. 504. [O.P. Pogutse, E.I. Yurchenko // Sov. J. Plasma Phys. 3, 283 (1977)]
4. *Арсенин В.В.* // Физика плазмы. 2018. Т. 44. С. 855. [V.V. Arsenin // Plasma Phys. Rep. 44, 967 (2018)]
5. *Кадомцев Б.Б., Погутце О.П.* Вопросы теории плазмы. Вып. 5 / Под ред. М.А. Леонтовича. М.: Атомиздат, 1967. С. 209. [B.V. Kadomtsev, O.P. Pogutse. Reviews of Plasma Physics. Vol. 5 / Leontovich M.A., Ed. Consultants Bureau, New York, London, 1970]
6. *Rutherford P.H., Furth H.P., Rosenbluth M.N.* // Plasma Phys. Controlled Nuclear Fusion Res. (Proc. IV IAEA Conf., Madison, 1971. CN 28/F-16). Vienna: IAEA, 1971. V. II. P. 553.
7. *Шафранов В.Д.* // ЖТФ. 1970. Т. 40. С. 241. [V.D. Shafranov // Sov. Phys. Tech. Phys. 15, 175 (1970)]
8. *Шафранов В.Д.* Вопросы теории плазмы. Вып. 3 / Под ред. М.А. Леонтовича. М.: Госатомиздат, 1963. С. 3. [V.D. Shafranov. Reviews of Plasma Physics. Vol. 3 / Leontovich M.A., Ed. Consultants Bureau, New York, 1967]